

ПОЛУЧЕНИЕ МЕГАГАУССНЫХ МАГНИТНЫХ ПОЛЕЙ СЖАТИЕМ ГАЗОВЫХ ЛАЙНЕРОВ

А.В. Лучинский, Н.А. Ратахин, С.А. Сорокин,
С.А. Чайковский

Одним из методов получения мегагауссных магнитных полей является сжатие начального аксиального магнитного поля плазменным цилиндрическим лайнером [1]. Начальное аксиальное магнитное поле B_0 предварительно создается между электродами сильноточного генератора. Затем лайнер сжимается под действием магнитного поля аксиального тока $I(t)$. При условии сохранения магнитного потока внутри лайнера соотношение между магнитным полем внутри лайнера B и радиусом лайнера r имеет вид:

$$Br^2 = B_0 r_0^2,$$

где r_0 и B_0 – начальные значения радиуса лайнера и магнитного поля внутри него.

Эксперименты по получению мегагауссных магнитных полей указанным методом проведены на установке СНОП-3. Установка СНОП-3 имеет следующие основные электрические параметры: энергия, запасенная в накопительной емкости импульсного трансформатора до 180 кДж, волновое сопротивление водяной передающей линии $\rho \approx 0.6$ Ом, индуктивность разделительного (вода–вакуум) секционированного изолятора и вакуумной магнитноизолированной линии ~ 30 нГ, амплитуда тока I через лайнер до 1.5 МА, время нарастания тока $\tau \approx 80$ нс.

Начальное магнитное поле B_0 (0–35 кГс) создавалось с помощью катушек Гельмгольца, которые запитывались от конденсаторной банки ($C = 200$ мкФ, $U = (0\text{--}5)$ кВ) и содержали по 9 витков эмалированного провода $\varnothing 1.8$ мм каждая. Средний диаметр витка был ~ 56 мм. Время нарастания магнитного поля до максимума составляло ~ 45 мкс.

Газовый цилиндрический лайнер создавался с помощью сопла Лаваля (число Маха $M = 4$) кольцевого сечения, которое одновременно служило катодом. Газ на вход сопла Лаваля подавался с помощью быстродействующего электромагнитного клапана [2]. Средний радиус газового лайнера у катода r_0 и длина лайнера l составляли соответственно 1 и 1.8 см. Анодом служила сетка из нержавеющей стали, которая крепилась к обратному токопроводу из двенадцати стальных стержней диаметром 0.4 см. Радиус обратного токопровода был 2 см.

В качестве рабочего газа применялись аргон и азот. Газовый лайнер предыонизовался за ~ 2 мкс до прихода токового импульса ультрафиолетовым излучением от многозazorного разрядника (скользящий разряд по поверхности полиэтилена).

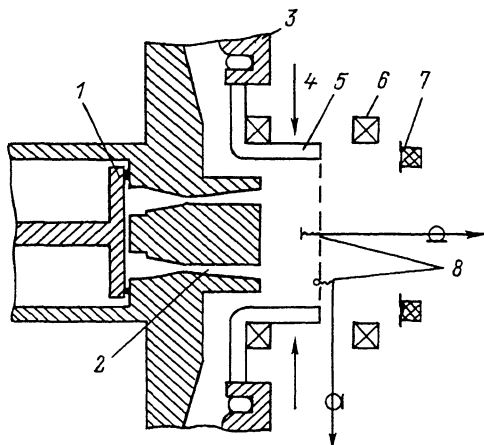


Рис. 1. Схема блока нагрузки.

1 - электромагнитный клапан, 2 - сопло Лаваля, 3 - пояс Роговского, 4 - диагностические окна, 5 - обратный токопровод, 6 - катушки Гельмгольца, 7 - многозazorный разрядник, 8 - магнитные датчики.

Для диагностики применялись магнитные датчики, пояса Роговского, вакуумный рентгеновский диод (ВРД), камера-обскура, болометр и ЭОП „Агат“ с временной разверткой изображения плазмы в оптическом диапазоне спектра.

Для измерения сжимаемого аксиального магнитного поля применялся одновитковый магнитный датчик диаметром 200 мкм, помещенный в стеклянную трубку диаметром 1.5–3 мм. Датчик вводился по оси лайнера со стороны сеточного анода и располагался на расстоянии 6–8 мм от анода.

На рис. 2 показаны ток через лайнер и сигнал с магнитного датчика в стеклянной трубке диаметром 1.5 мм для выстрела с начальным полем $B_0 = 18$ кГс. Интегрирование по времени сигнала с магнитного датчика дает амплитуду магнитного поля 2.5 МГс, что соответствует 150-кратному сжатию магнитного поля и, при пренебрежении диффузией магнитного поля через стенки лайнера, 12-кратному сжатию лайнера. Кратность сжатия лайнера ограничивалась, скорее всего, наружным диаметром стеклянной трубки, т.к. „точка поворота“ лайнера массой $m = 35$ мкг/см сжимаемым магнитным полем, согласно нульмерным расчетам, составляет $r_n = 0.35$ мм.

В нульмерном расчете численно интегрировалось уравнение движения бесконечно тонкого лайнера с массой m на единицу длины, начальным радиусом r_0 и начальным аксиальным магнитным полем B_0 под действием давлений собственного магнитного поля (B_R) и сжимаемого магнитного поля (B_R').

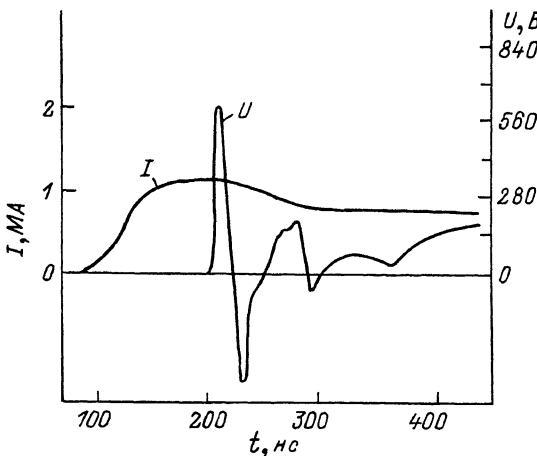


Рис. 2. Осциллограммы тока через лайнер и сигнала с магнитного датчика для выстрела с начальным магнитным полем $B_0 = 18$ кГс.

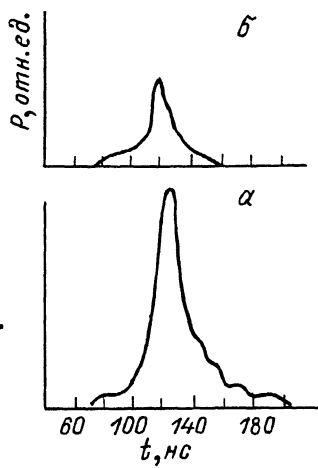
Рис. 3. Сигналы с ВРД для выстрелов: а - без начального магнитного поля, б - с начальным магнитным полем $B_0 = 20$ кГс.

$$m \frac{d^2 r}{dt^2} = -\frac{1}{c^2} \frac{I^2(t)}{r} + \frac{B_0^2}{4} r \left(\frac{r_0^4}{r^4} - 1 \right).$$

Здесь r и $I(t)$ - текущий радиус лайнера и ток через лайнер, который брался из характерных рабочих осциллограмм.

Как и в работе [3], даже относительно слабое начальное магнитное поле значительно повышало устойчивость сжатия лайнера. При начальном магнитном поле $B_0 = 5$ кГс наблюдалось (на эзопограмме и сигнале с магнитного датчика) три последовательных сжатия лайнера. Об улучшении устойчивости сжатия лайнера с начальным магнитным полем говорит также сравнение интегральных обскуrogramм и сигналов с ВРД (с фильтром из лавсановой пленки толщиной 3 мкм) для выстрелов без магнитного поля и с магнитным полем $B_0 = 20$ кГс.

Излучающий в рентгеновском диапазоне спектра плазменный пинч в случае с начальным магнитным полем становится однороднее, а сигнал с ВРД короче во времени и меньше по амплитуде (рис. 3). Уменьшение энергии излучения в полном спектре в выстреле с магнитным полем $B_0 = 20$ кГс наблюдалось также с помощью открытого болометра (~ 400 Дж против ~ 650 без начального магнитного поля) и связано с торможением лайнера сжимаемым магнитным полем в финальной стадии сжатия.



Список литературы

- [1] Feilber F.S., Liberman M.A. and Veliikovich A.L. // Appl. Phys. Lett. 1985. V. 46. N 11. P. 1042-1044.
- [2] Фишер, Мако, Шило // Приборы для научных исследований. 1978. № 6. С. 206-207.
- [3] Wessel F.J., Feilber F.S., Wild N.C. et al. // Appl. Phys. Lett. 1986. V. 48. N 17. P. 1119-1121.

Институт сильноточной
электроники СО АН СССР,
Томск

Поступило в Редакцию
9 ноября 1987 г.

Письма в ЖТФ, том 15, вып. 18

26 сентября 1989 г.

КВАЗИРЕЗОНАНСНОЕ ВОЗДЕЙСТВИЕ НА ДИНАМИЧЕСКИЕ СИСТЕМЫ СО СТРАННЫМ АТТРАКТОРОМ

В.В. Афанасьев, Ю.Е. Польский

Особенностью открытых нелинейных динамических систем (ДС) является возможность протекания в них качественно отличающихся процессов – образование устойчивых структур, возникновение колебательных и хаотических режимов [1-5]. ДС различной физической природы описываются аналогичными системами нелинейных дифференциальных уравнений, что указывает на присущую им общность протекающих в них процессов. Так, динамика процессов генерации в квантовом генераторе [2, 3], гидродинамические процессы возникновения турбулентности в слое жидкости [4, 5] и процессы в автоколебательных системах с инерционным возбуждением [6, 7] описываются одной и той же системой уравнений Лоренца:

$$\begin{cases} \dot{x} = -\sigma(x - y) \\ \dot{y} = r x - y - xz \\ \dot{z} = xy - bz \end{cases} \quad (1)$$

где σ , r , b – параметры системы, инвариантной относительно преобразований $X \rightarrow -X$, $Y \rightarrow -Y$, $Z \rightarrow Z$.

Анализ решений (1), проведенный с использованием численных методов, показывает [3-5], что при $r > 1$ в системе имеются два аттрактора: $A_{1,2} = (\pm X_0, \pm Y_0, Z_0)$, где $X_0 = Y_0 = \sqrt{b(r-1)}$, $Z_0 = r-1$

С увеличением r стационарный режим генерации сменяется хаотическим с последующим возникновением странного аттрактора (СА). Возникновение СА сопровождается квазипериодическим движением в трехмерном фазовом пространстве по раскручивающейся